

Cálculo Numérico

Práctica 3 - Resultados

6 de Enero, 2018

1 Pregunta 3.2.1. Método Explícito para la Ecuación de Calor

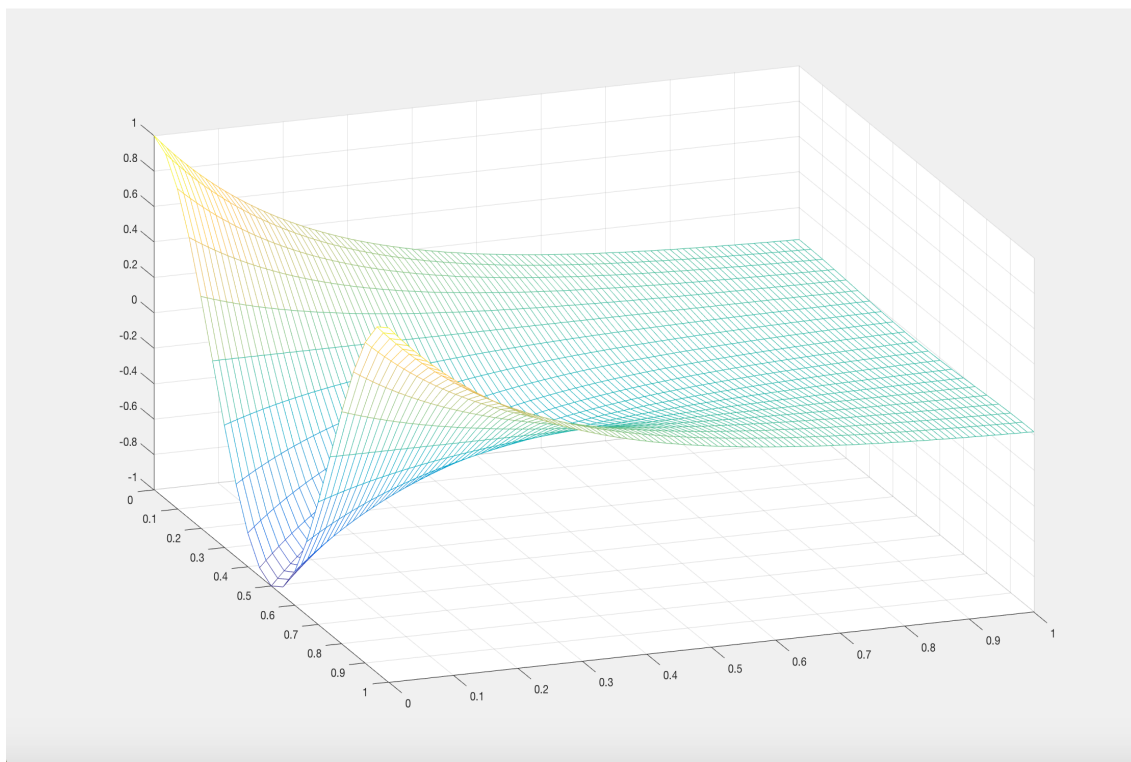
1.1 Primer Inciso: máximo Δt teórico

El método es estable si $\sigma = \frac{Dk}{h^2} \leq \frac{1}{2}$ con $D = \frac{1}{\pi^2}$ el coeficiente de difusión de calor y $k = \Delta t$. Para la ecuación dada, con $h = \Delta x = \frac{1}{20}$, se necesita que $\frac{2k}{\pi^2 h^2} \leq 1$. Esto es, $k \leq \frac{\pi^2}{800} \approx 0.012337005501362$.

1.2 Segundo Inciso: error en (0.3,1)

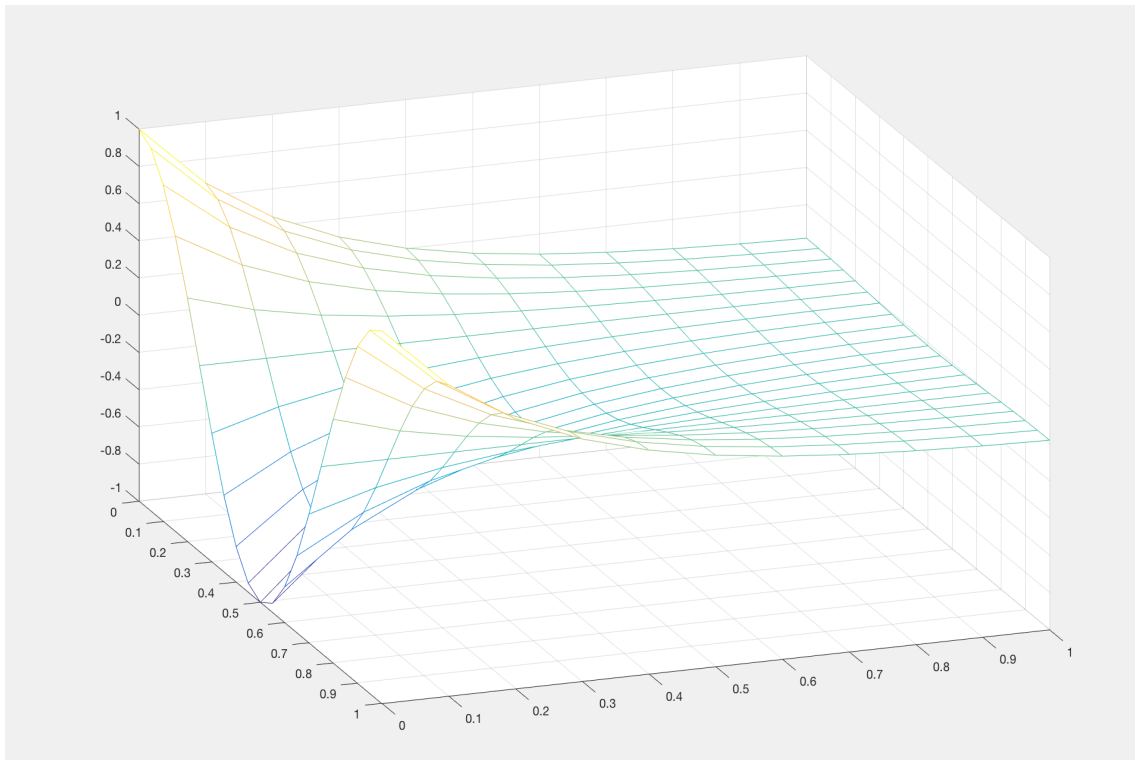
Sea u_* el valor de la aproximación en el punto $(x, t) = (0.3, 1)$, el cual está dado por la entrada $W_{7,N+1} = -0.003788390674117$ de la matriz de soluciones. El valor exacto está dado por $u(0.3, 1) = e^{-4} \cos(2\pi(0.3)) \approx -0.005659843679454$. Así, el error en el punto $(0.3, 1)$ está dado por $|u_* - u(0.3, 1)| = |-0.003788390674117 + 0.005659843679454| = 0.001871453005336$.

1.3 Tercer Inciso: gráfica



2 Pregunta 3.2.2. Método Crank-Nicolson para la Ecuación de Calor

2.1 Primer Inciso: gráfica



2.2 Segundo Inciso: Tabla 1

Solución exacta en $(0.3,1) = -0.005659843679454$.

$\Delta x = \Delta t$	Aproximación numérica	Error de aproximación
$\frac{1}{10}$	-0.008852894255429	0.003193050575976
$\frac{1}{20}$	-0.006437110311738	7.772666322843425e-04
$\frac{1}{40}$	-0.005852866516267	1.930228368133167e-04

Para verificar que el error se reduce cuadráticamente, utilizamos la fórmula del *experimental order of convergence* definido por $p \approx \frac{\log(\frac{E_2}{E_1})}{\log(\frac{h_2}{h_1})}$. Así, $E_2 = 7.772666322843425e - 04$, $E_1 = 0.003193050575976$, $h_2 = \frac{1}{20}$ y $h_1 = \frac{1}{10}$ y tenemos que $p \approx 2.038453916083831$, es decir, que el orden p del método es 2, esto es, que el error se reduce cuadráticamente.

Resta verificar que el *e.o.c.* es consistente con la teoría:

En el método de *Crank-Nicolson*, la expresión para aproximar u_{xx} está dada por:

$$\frac{(v_{m+1}^n - 2v_m^n + v_{m-1}^n) + (v_{m+1}^{n-1} - 2v_m^{n-1} + v_{m-1}^{n-1})}{2h^2}.$$

Usando expansiones en serie de Taylor, tenemos que:

$$v_{m+1}^n \approx u(x+h, t) = u + hu_x + \frac{h^2}{2}u_{xx} + \frac{h^3}{6}u_{xxx} + \mathcal{O}(h^4)$$

$$v_{m-1}^n \approx u(x-h, t) = u - hu_x + \frac{h^2}{2}u_{xx} - \frac{h^3}{6}u_{xxx} + \mathcal{O}(h^4)$$

$$v_{m-1}^{n-1} \approx u(x-h, t-k) = u - hu_x + \frac{h^2}{2}u_{xx} - \frac{h^3}{6}u_{xxx} + \mathcal{O}(h^4) - ku_t + \frac{k^2}{2}u_{tt} + \mathcal{O}(k^3)$$

$$v_m^{n-1} \approx u(x, t-k) = u - ku_t + \frac{k^2}{2}u_{tt} + \mathcal{O}(k^3).$$

$$v_{m+1}^{n-1} \approx u(x+h, t-k) = u + hu_x + \frac{h^2}{2}u_{xx} + \frac{h^3}{6}u_{xxx} + \mathcal{O}(h^4) - ku_t + \frac{k^2}{2}u_{tt} + \mathcal{O}(k^3).$$

Luego,

$$h^2u_{xx} = v_{m+1}^n - 2v_m^n + v_{m-1}^n + \mathcal{O}(h^4)$$

$$h^2u_{xx} = v_{m+1}^{n-1} - 2v_m^{n-1} + v_{m-1}^{n-1} + \mathcal{O}(h^4) - 2ku_t + k^2u_{tt} + \mathcal{O}(k^3).$$

Sumando ambas expresiones y despejando para u_{xx} , se sigue que

$$u_{xx} = \frac{v_{m+1}^n - 2v_m^n + v_{m-1}^n + v_{m+1}^{n-1} - 2v_m^{n-1} + v_{m-1}^{n-1}}{2h^2} + \mathcal{O}(h^2) - 2ku_t + k^2u_{tt} + \mathcal{O}(k^3).$$

Dado que, por el momento, nos interesa ver el error en el espacio, basta observar que se cumple que la expansión es de orden 2 respecto a $h = \Delta x$. \square

2.3 Tercer Inciso: Tabla 2

Solución exacta en $(0.3,1) = -0.005659843679454$.

$\Delta x = \frac{1}{20}, \Delta t = k$	Aproximación numérica	Error de aproximación
$k = \frac{1}{25}$	-0.006625587044768	9.657433653140236e-04
$k = \frac{1}{50}$	-0.006876820919023	0.001216977239570
$k = \frac{1}{100}$	-0.006939617192681	0.001279773513227
$k = \frac{1}{200}$	-0.006955315499833	0.001295471820380

Observamos que el error empieza a aumentar a partir de $\Delta t = \frac{1}{50}$, lo cual a primera instancia pareciera que contradice a la teoría, que nos dice que el error se debería de reducir cuadráticamente en el tiempo. Sin embargo, también es sabido que si $D\Delta t$ es muy pequeño en relación a Δx^2 se crean *oscilaciones* que generen problemas, que es probablemente lo que está sucediendo al disminuir mucho el tamaño del paso en el tiempo¹.

¹Duffy, Daniel J. "A Critique of the Crank Nicolson Scheme Strengths and Weaknesses for Financial Instrument Pricing." *Wilmott Magazine* (n.d.): 68-69. *Imperial College of Science, Technology and Medicine*. Web.

3 Pregunta 3.3.1. Método Lax-Friedrichs para la Ecuación de Transporte

3.1 Primer Inciso: Orden del Método.

La teoría nos dice que el método es $\mathcal{O}(\Delta x, \Delta t)$. En el experimento, se observaron algunas cosas interesantes: Sea $\Delta x \in \{\frac{1}{5}, \frac{1}{10}, \frac{1}{20}, \frac{1}{30}\}$. Se observó que, ajustando Δt de manera que σ se mantenga constante e igual a 1, el método es exacto, dado que se obtiene un error de 1.110223024625157e-16. Esto es consistente con la teoría dado que, el método debería ser exacto cuando la segunda derivada respecto a cada variable de la función a aproximar es cero, lo cual se cumple en este caso para $u(x, t) \forall x \in \mathbb{R} - \{0\}, \forall t \in \mathbb{R}$. Si dejamos variar σ junto con Δx o con Δt en lugar de mantener su valor fijo igual a 1, se obtienen algunos problemas. Concretamente, mejorando la malla en t y dejando fijo Δx el error aumenta. Si bien el método es estable, quizá este problema se deba a que el *dominio de dependencia numérico* es menor que el *dominio de dependencia físico*.²

3.2 Segundo Inciso: Máximo Δt

El método es estable si $\sigma = \frac{ck}{h} = \frac{2k}{(\frac{1}{20})} \leq 1$. Luego, $k \leq \frac{h}{2} = \frac{1}{40}$.

²Rezzolla, Luciano. "Numerical Methods for the Solution of Partial Differential Equations." (n.d.): 14-20. Max-Planck-Institute for Gravitational Physics. Web.

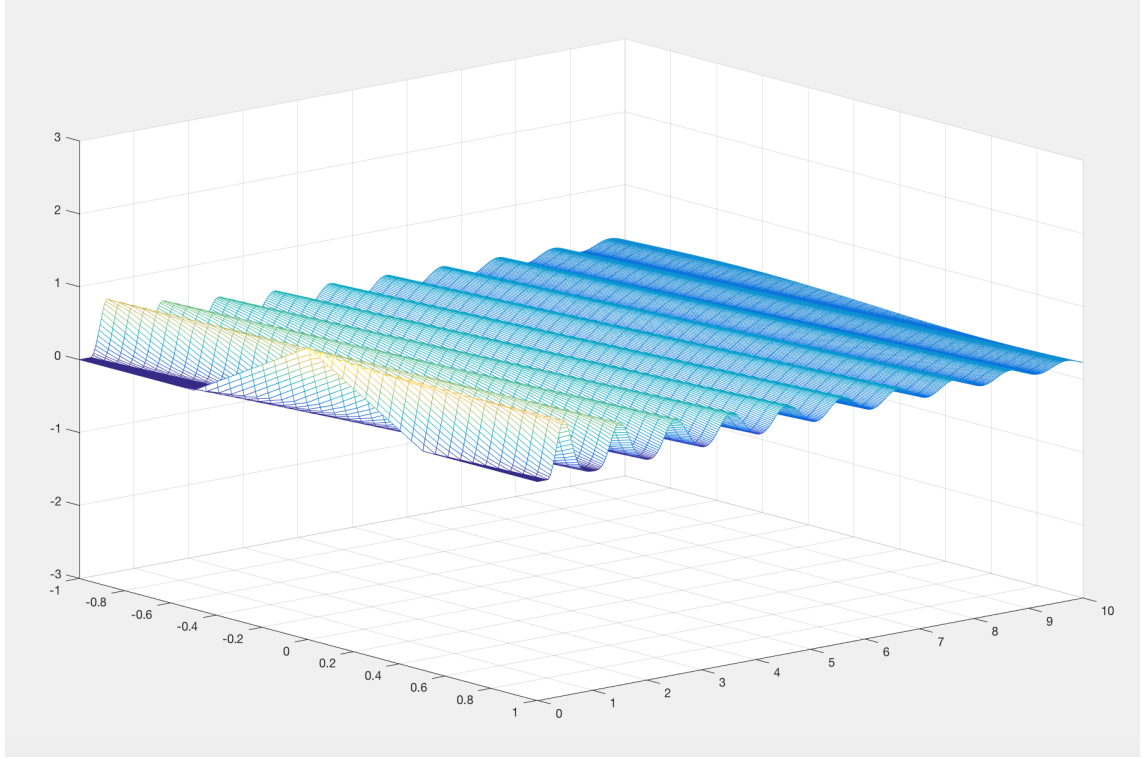
3.3 Tercer Inciso: Tabla con $\sigma = 0.8$

Para la solución exacta se tiene que la altura máxima es 1, en $x = 0$, y el volumen es $\frac{1}{2}$.

Para construir la siguiente tabla se utilizan $\sigma = 0.8$ con $\Delta x = \frac{1}{20}$.

$t = 2n$	Altura máxima (A.m.)	Posición x de A.m.	Volumen
$t = 2$	0.547723257775712	-0.1000000000000000	0.498645882401607
$t = 4$	0.423397230493546	-0.2000000000000000	0.494873803113247
$t = 6$	0.358105977766596	-0.3000000000000000	0.491632714337687
$t = 8$	0.318090598590514	-0.4000000000000000	0.489520594012568
$t = 10$	0.292663787809495	-0.4000000000000000	0.488313598512385

El método funciona satisfactoriamente cuando buscamos el volumen, sin embargo hay un problema con la altura máxima y con el valor de x para el cual se tiene dicha altura. Este problema crece conforme crece t . Lo anterior se puede explicar por que el método tiene un desfase que incrementa conforme pasa el tiempo. La animación de la solución y la aproximación en el código *AnimacionTransporte.m* ilustran lo anterior. Tambien se puede pensar analíticamente. Observando la columna 501 (la última columna), de la matriz de soluciones, que corresponde al tiempo $t = 10$, se puede ver que los valores disminuyen y luego vuelven a aumentar sobre el intervalo de x , que no corresponde con la forma/gráfica de la solución exacta. Por ejemplo, $W_{1,501} = 0.237603864207308$, $W_{30,501} = 0.199036742847725$, y $W_{41,501} = 0.229852195296758$ en donde W es la matriz de soluciones, la entrada i es la i -ésima x en la malla. Sin embargo, esto es solo una mirada parcial a lo que está sucediendo, dado que estamos cortando una función tridimensional en un plano. Para ilustrar el fenómeno completo, se deja una gráfica de la aproximación con *Lax-Friedrichs* a continuación.



3.4 Cuarto Inciso: Tabla con $\sigma = 1$ y $\Delta x = \frac{1}{20}$

$t = 2n$	Altura máxima (A.m.)	Posición x de A.m.	Volumen
$t = 2$	1.0000000000000000	-0.1000000000000000	0.5000000000000000
$t = 4$	1.0000000000000000	-0.2000000000000000	0.5000000000000000
$t = 6$	1.0000000000000000	-0.3000000000000000	0.5000000000000000
$t = 8$	1.0000000000000000	-0.4000000000000000	0.5000000000000000
$t = 10$	1.0000000000000000	-0.5000000000000000	0.5000000000000000

3.5 Quinto Inciso: $\sigma = 2$

Se tiene que para el tiempo $t = 0.45$ (que corresponde a la columna 9 de W), $|W_{i,9}| = |v_i^9| > 5$ para $i \in \{14, 16, 18, 24, 26, 28, 29, 34, 36, 38\}$ y $j = 9$ es la primer columna para cual se cumple que $|v_i^j| > 5$ para alguna i . W es una matriz de tamaño $(M + 1) \times (N + 1)$ con $M = 40$ y $N = 200$. Así, $\sigma = 2$.

4 Pregunta 3.3.2. Método Leapfrog para la Ecuación de Transporte

4.1 Primer Inciso: Máximo Δt

Los esquemas *Leapfrog* y *Lax-Friedrichs* comparten la condición CFL. Luego, el esquema *Leapfrog* es estable si $\sigma = \frac{ck}{h} = \frac{2k}{(\frac{1}{20})} \leq 1$. Esto es, $k \leq \frac{h}{2} = \frac{1}{40}$.

4.2 Segundo Inciso: Tabla con $\sigma = 0.8$

$t = 2n$	Altura máxima (A.m.)	Posición x de A.m.	Volumen
$t = 2$	0.898481856213026	-0.1000000000000000	0.497571554641059
$t = 4$	0.497571554641059	-0.3000000000000000	0.500131553224770
$t = 6$	0.904563379749248	-0.4000000000000000	0.504303950747260
$t = 8$	0.904563379749248	-0.5000000000000000	0.502892626751680
$t = 10$	0.835523012241780	-0.6500000000000000	0.497445887252128

4.3 Tercer Inciso: Tabla con $\sigma = 1$

$t = 2n$	Altura máxima (A.m.)	Posición x de A.m.	Volumen
$t = 2$	1.0000000000000000	-0.1000000000000000	0.5000000000000000
$t = 4$	1.0000000000000000	-0.2000000000000000	0.5000000000000000
$t = 6$	1.0000000000000000	-0.3000000000000000	0.5000000000000000
$t = 8$	1.0000000000000000	-0.4000000000000000	0.5000000000000000
$t = 10$	1.0000000000000000	-0.5000000000000000	0.5000000000000000

References

- [1] Timothy Sauer. *Numerical Analysis*. Pearson, 2nd ed.
- [2] Luciano Rezzolla. *Numerical Methods for the Solution of Partial Differential Equations*. Max-Planck-Institute for Gravitational Physics, pp. 14 - 20
www.aei.mpg.de/rezzolla/lnotes/Evolution_Pdes/evolution_pdes_lnotes.pdf.
- [3] Daniel J Duffy. *A Critique of the Crank Nicolson Scheme Strengths and Weaknesses for Financial Instrument Pricing*. Wilmott Magazine pp. 68,69. Imperial College of Science, Technology and Medicine.
wwwf.imperial.ac.uk/ajacquie/IC_Num_Methods/IC_Num_Methods_Docs/Literature/DuffyCN.pdf.
- [4] Universität Münster
https://www.uni-muenster.de/imperia/md/content/physik_tp/lectures/ws2016-2017/num_methods_i/advection.pdf